

Speeding up the execution-time of Crystals-Kyber PQC Algorithm on FPGA

M. Ghafari, Hatam Abdoli*, M. Abbasi

Assistant Professor, Bu - Ali Sina University, Hamadan, Iran*

(Received: 11/09/2022, Accepted: 09/10/2022)

ABSTRACT

Quantum computers have much more computing power than classical computers and this has created a challenge in the field of public-key cryptography algorithms, which is predicted quantum computers will reach the computational power to break existing public-key cryptography algorithms by 2030. To solve this problem, NIST published a call for post-quantum cryptography algorithms. Implementing these algorithms faces challenges such as execution time and resources. One of the algorithms that made it to the third round is the CRYSTALS-KYBER algorithm. In this algorithm, by optimizing the NTT module, the execution time is reduced. Usually, the implementation of NTT is created with radix-2, but in the proposed method, radix-4 is used, and this reduces the execution time. Changes to NTT are required to implement radix-4 NTT. DIT is used to implement NTT and DIF is used to implement INTT. In NTT and INTT formulas changes are made to the twiddle factors and the values of the twiddle factors stored to the ROM. In the following, we compared radix-4 butterfly unit with radix-2 butterfly unit. By reusing results in CT and GS butterfly units, we need four multiplications, additions, and subtractions, and the structure of radix-4 butterfly unit is mentioned. The memory unit uses eight RAMs to increase read and write speeds, four of which are for writing and the remaining four are for reading. It is also necessary to make corrections to the NTT parameters which are suitable for implementation on Kyber. Next, we implemented the proposed method on two FPGA Artix-7 and Virtex-7 using Vivado software. In the implementation on Artix-7 and Virtex-7 in exchange for a slight increase in the resources, the execution time in Artix-7 is reduced by 28.74% and 12.34% compared to similar implementations.

Keywords: Post-Quantum Cryptography, Crystals-Kyber, NTT, Radix-4, Polynomial Multiplication, Hardware Implementation.

نشریه علمی "پدافند الکترونیکی و سایبری"

سال دهم، شماره ۴، زمستان ۱۴۰۱، ص ۱۱۰-۱۰۱

علمی - پژوهشی

تسريع زمان اجرای الگوريتم رمزنگاري پساکوانتوم Crystals-Kyber روی FPGA

محمد غفاری^۱، حاتم عبدالی^{۲*}، مهدی عباسی^۳

۱- دانشجوی کارشناسی ارشد، ۲- استادیار، ۳- دانشیار، دانشگاه بوعلی سینا، همدان، ایران

(دریافت: ۱۴۰۱/۰۶/۲۰، پذیرش: ۱۴۰۱/۰۷/۱۷)

چکیده

کامپیوترهای کوانتومی توان محاسباتی بسیار بیشتری نسبت به کامپیوترهای کلاسیک دارند و این مسئله باعث ایجاد چالش در حوزه رمزنگاری کلید عمومی شده است، به طوری که پیش‌بینی می‌شود در آینده کامپیوترهای کوانتومی به اندازه‌ای قدرتمند شوند که بتوانند الگوریتم‌های رمزنگاری کلید عمومی را بشکنند. به منظور حل این مشکل NIST یک فراخوانی را برای رمزنگاری پساکوانتوم منتشر کرد. یکی از الگوریتم‌های راهیافته به دور سوم، الگوریتم CRYSTALS-KYBER است. در این الگوریتم با بهینه‌سازی واحد NTT می‌توان زمان اجرا را کاهش داد. در حالت عادی پیاده‌سازی NTT، با پایه دو صورت گرفته ولی در روش پیشنهادی از پایه چهار استفاده شده است و این امر باعث کاهش زمان اجرا شده است. برای پیاده‌سازی NTT با پایه چهار و متناسب با الگوریتم Kyber، لازم است تغییراتی در NTT رخ دهد. در ادامه واحد پروانه پایه دو با واحد پروانه پایه چهار مقایسه شده است. در واحد حافظه به منظور افزایش سرعت خواندن و نوشتن از هشت RAM استفاده شده که چهار عدد از آن‌ها برای نوشتن و چهار عدد باقیمانده برای خواندن هم‌زمان است. در بخش تولید آدرس، پیش‌تر آدرس‌ها به صورت دوتایی تولید می‌شود ولی در روش پیشنهادی به صورت چهارتایی تولید می‌شود و همچنین لازم است در پارامترهای NTT اصلاحاتی انجام شود که برای پیاده‌سازی روی Kyber مناسب باشد. در ادامه، روش پیشنهادی روی دو تراشه Artix-7 و Virtex-7، FPGA با استفاده از نرم‌افزار Vivado پیاده‌سازی شده است که در ازای افزایش جزئی منابع موردنیاز، زمان اجرا در Artix-7 در مقایسه با پیاده‌سازی‌های مشابه ۲۸/۷۴ درصد و ۱۲/۳۴ درصد کاهش یافته است.

کلیدوازه‌ها: رمزنگاری پساکوانتوم، Crystals-Kyber، NTT، پایه چهار، ضرب چندجمله‌ای، پیاده‌سازی سخت‌افزاری

۱- مقدمه

می‌بایست از الگوریتم‌هایی استفاده شود که در مقابل حملات کوانتومی مقاوم باشند. انجمن ملی استاندارد و تکنولوژی آمریکا (NIST) یک فراخوانی در رابطه با این موضوع در اواخر سال ۲۰۱۶ منتشر کرد و به این صورت الگوریتم‌های رمزنگاری پساکوانتوم (PQC)^۱ و امضای دیجیتال پساکوانتوم به وجود آمدند.

در دور سوم این رقبابت، در سال ۲۰۲۰ چهار الگوریتم رمزنگاری کلید عمومی Saber، McEliece Classic، NTRU و SIKE و NTRUprime، Hqc، FrodoKEM، Bike به عنوان فینالیست پذیرفته شده‌اند و پنج الگوریتم DILITHIUM، Rainbow، Falcon به عنوان الگوریتم‌های جایگزین در نظر گرفته شده‌اند. سه الگوریتم Saber، NTRU و CRYSTALS-KYBER مبتنی بر lattice و الگوریتم McEliece Classic مبتنی بر کد هستند؛ همچنین سه الگوریتم امضای دیجیتال CRYSTALS-SPHINCS و GeMSS به عنوان فینالیست پذیرفته شده‌اند و سه الگوریتم امضای دیجیتال DILITHIUM، Picnic و Falcon به عنوان الگوریتم امضای دیجیتال به عنوان فینالیست پذیرفته شده‌اند.

کامپیوترهای کوانتومی، کامپیوترهایی هستند که برای انجام محاسبات از خاصیت‌های فیزیک کوانتوم استفاده می‌کنند که این ویژگی باعث شده عملکرد خارقالعاده‌ای نسبت به کامپیوترهای کلاسیک که در حال حاضر استفاده می‌شوند، داشته باشند و این عملکرد شگفت‌انگیز باعث جلب توجه بسیاری شده است. در کامپیوترهای کلاسیک از بیت استفاده می‌شود در حالی که کامپیوترهای کوانتومی مبتنی بر کیوبیت است [۱].

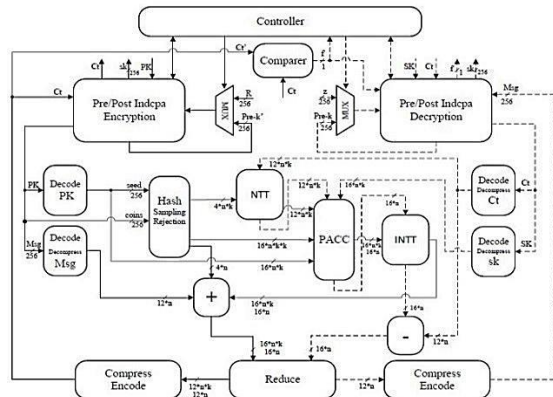
امروزه مؤسسات تحقیقاتی و شرکت‌های بزرگی مانند گوگل، IBM، NVIDIA و مایکروسافت روی کامپیوترهای کوانتومی سرمایه‌گذاری کرده‌اند و IBM Q System One، IBM 2، Google و USTC، Sycamore، Jiuzhang را معرفی کرده‌اند.

پیش‌بینی شده است که حدوداً تا سال ۲۰۳۰ کامپیوترهای کوانتومی به قدری قدرتمند می‌شوند که می‌توانند الگوریتم‌های رمزنگاری کلید عمومی را بشکنند [۱ و ۲]. برای حل این مشکل

^۱ Post Quantum Cryptography

* رایانه‌های تویینده مسئول: Hataababdoli@gmail.com

مربوط به رمزگذاری است. مازول NTT در مرکز شکل مشخص شده است. در ادامه با اجزای Kyber آشنا می‌شویم.



شکل ۱.۱. معماری کلی الگوریتم Kyber

۱-۱- آشنایی با NTT

NTT شباهت‌هایی با FFT دارد و باعث می‌شود پیچیدگی محاسباتی ضرب چندجمله‌ای از $O(n^2)$ به $O(n \log n)$ کاهش یابد. در NTT از N امین ریشه واحد استفاده می‌شود و N توانی از دو است. می‌توان گفت NTT روشی بهینه برای ضرب است.

$$A_i = NTT(a_i) = \sum_{j=0}^{N-1} a_j \omega_N^{ij} \bmod q \quad i = 0, 1, 2, \dots, N-1 \quad (1)$$

برای به دست آوردن INTT کافی است، عبارت در ۱/ ضرب شود و به جای ω ، از ω^{-1} استفاده شود [۲].

$$a_j = INTT(A_j) = \frac{1}{N} \sum_{i=0}^{N-1} A_i \omega_N^{-ij} \bmod q \quad j = 0, 1, 2, \dots, N-1 \quad (2)$$

مازول NTT مهم‌ترین و پیچیده‌ترین بخش محاسباتی الگوریتم Kyber است که ضرب‌های چندجمله‌ای و پیچیده در این مازول انجام می‌شود. بخش عده پردازش‌ها و زمان اجرای الگوریتم Kyber مربوط به NTT است [۱]. به همین دلیل بهینه‌سازی و بهبود کارایی NTT برای تسريع زمان اجرای الگوریتم Kyber در بیشتر پژوهش‌های پیشین و همچنین این پژوهش در نظر گرفته شده است.

نمونه‌برداری از توزیع دوجمله‌ای

میزان خطا از توزیع دوجمله‌ای مت默کز B_{η} (CBD) نمونه‌برداری می‌شود و f به عنوان خروجی طبق B_{η} نمونه‌برداری می‌شود. در Kyber نمونه‌برداری به ازای $\eta=2$ یا $\eta=3$ انجام می‌شود.

تابع درهم‌سازی

در الگوریتم Kyber تعدادی تابع درهم‌سازی وجود دارد مانند SHA3-256, 512 و SHAKE-128, 256

جایگزین انتخاب شده‌اند. دو الگوریتم امضای دیجیتال CRYSTALS-DILITHIUM و Falcon مبتنی بر lattice هستند و الگوریتم امضای دیجیتال Rainbow مبتنی بر چندمتغیره است.

در پیاده‌سازی سخت‌افزاری الگوریتم‌های رمزگاری پساکوانتم به دو موضوع توجه شده است: ۱- زمان اجرا و ۲- منابع موردنیاز. به طور کلی برای بهبود پیاده‌سازی سخت‌افزاری الگوریتم‌های رمزگاری پساکوانتم از دو رویکرد اصلی استفاده می‌شود:

- بهبود کارایی بخش‌های پیچیده الگوریتم مانند بهینه‌سازی بخش ضرب چندجمله‌ای با استفاده از روش‌های حساب کامپیوتري

- استفاده از تکنیک‌های مختلف طراحی در سطح معماری کامپیوتور (مانند pipelining) با هدف افزایش کارایی سخت-افزار الگوریتم

در کارهایی که تاکنون انجام شده است در بعضی از مقالات به چگونگی کاهش زمان اجرا توجه کرده‌اند، عده‌ای دیگر تمرکزشان بر کاهش منابع است و برخی به هردو رویکرد توجه داشته‌اند. در این مقاله با اعمال تغییراتی در واحد NTT، به عنوان یکی از بخش‌های پیچیده الگوریتم Kyber، بهبود زمان اجرای الگوریتم Kyber حاصل شده است.

۱-۱- آشنایی با Kyber

Kyber یک سازوکار کیپوله‌سازی کلید (KEM) است که امنیت آن بر اساس ساختی حل کردن مسئله یادگیری با خطأ در lattice است [۳]. ساختار Kyber از دو نوع پیروی می‌کند، یکی CPA و دیگری CCA است. CPA نوعی حمله است که در آن فرد مهاجم هم به متن رمز شده و هم به متن آشکار دسترسی دارد و سعی می‌کند که متوجه شود که متن چگونه رمز شده است و CCA نوعی حمله است که فرد مهاجم می‌تواند با متن رمز شده انتخابی به متن آشکار دست پیدا کند.

برای نمایش حلقه چندجمله‌ای $(X^n+1)/R$ و برای نمایش حلقه $(X^{n+1})/Rq$ از R و Rq استفاده می‌شود و به طوری که $n=256$ و $n'=9$ و $q=3329$ است. از حروف بزرگ برای نشان دادن ماتریس‌ها و حروف کوچک برای نشان دادن بردارهایی با ضرایبی در R و Rq استفاده می‌شود.

شکل ۱(۱) طرحی از الگوریتم Kyber را نشان می‌دهد که هردو عمل رمزگذاری و رمزگشایی را می‌تواند انجام دهد. در شکل ۱(۱) قسمت‌هایی که با خط‌چین نشان داده شده‌اند، مربوط به رمزگشایی و قسمت‌هایی که با خط ساده نشان داده شده‌اند،

در مراجع [۶ و ۹] برای پیاده‌سازی NTT از ^۳DIT و برای پیاده‌سازی INTT از ^۴DIF استفاده شده است. در مرجع [۸] INTT را طراحی کرده‌اند که از پایه چهار^۵ استفاده می‌کند و حافظه آن بدون برخورد^۶ است و از روش‌هایی استفاده کردند که تعداد حافظه موردنیاز آن کم بود.

در مقالاتی که اولویت کاهش منابع بوده زمان اجرای آن‌ها نسبتاً طولانی بوده و در مقالاتی که اولویت کاهش زمان اجرا بوده و برای کاهش زمان اجرا تعداد زیادی واحد پروانه اضافه کرده‌اند، به منابع خیلی بیشتری احتیاج داشته‌اند.

در روش پیشنهادی می‌خواهیم یک NTT پایه چهار که برای Kyber مناسب‌سازی شده است را به‌گونه‌ای بهینه کنیم که زمان اجرای کمی داشته باشد و در عین حال به منابع خیلی زیادی احتیاج نداشته باشد.

۳- روش پیشنهادی

تاکنون در پیاده‌سازی‌هایی که برای الگوريتم‌های پساکوانتم انجام شده است از NTT پایه دو استفاده شده است؛ یعنی دو ضربی واردشده، محاسبات آن انجام شده و سپس خارج می‌شوند. حال اگر بتوان در NTT از پایه چهار استفاده کرد، عملکرد NTT به‌طور محسوسی بهبود می‌یابد که برای تحقق این امر لازم است تغییرات زیادی در NTT رخ دهد.

در این معماری، باید به طول دیتا و تعداد واحدهای پروانه توجه کنیم و همین‌طور باید بررسی شود که آیا در حافظه ممکن است با برخوردی^۷ در حافظه روبه‌رو شویم، چون باید مطمئن شد که دیتا به‌موقع فراخوانی و در زمان و جای مناسب ذخیره می‌شود.

در طراحی‌های گذشته چون بر اساس پایه دو بودند واحد تولید آدرس^۸، دو آدرس را تولید می‌کرد و حافظه هم دو ضربی را می‌خواند یا می‌نوشت که برای پایه چهار مناسب نبودند، پس در کد تغییراتی انجام شد که این واحد با پایه چهار سازگار باشند.

با داشتن NTT پایه چهار می‌توان انتظار داشت که عملکرد و زمان اجرای الگوريتم Kyber بهبود یابد چون حداقل، زمان اجرای NTT کاهش می‌یابد.

۳-۱- تغییر در NTT

پیش‌تر FFT پایه چهار طراحی شده بود و این تغییر مبنای تأثیر زیادی بر عملکرد داشت [۱۰-۱۲]. FFT و NTT هم شباهت‌هایی نسبت به هم دارند، در مرجع [۸] نحوهی

الگوريتم Keccak می‌باشد که وظیفه آن در هم‌سازی دیتا است و این باعث می‌شود که دیتا غیرقابل تشخیص باشد.

در جدول (۱) مجموعه پارامترهای الگوريتم Kyber نشان داده شده است.

جدول (۱). مجموعه پارامترها برای الگوريتم Kyber

Algorithm	Level	Parameters (n/k/q)	Public key/Secret key/Ciphertext size p/s/c (in Bytes)
Kyber512	1	256/2/3329	800/1632/736
Kyber768	3	256/3/3329	1184/2400/1088
Kyber1024	5	256/4/3329	1568/3168/1568

۲- پیشینه پژوهش

تاکنون بهینه‌سازی‌های بسیاری برای Kyber ارائه شده است که در ادامه برخی از موارد که با NTT مرتبط هستند را ذکر می‌کنیم.

در مراجع [۴ و ۵] برای کاهش منابع موردنیاز از واحد پروانه یکپارچه‌شده^۱ استفاده شده است که کار واحد پروانه CT و GS را انجام می‌دهد.

در مراجع [۷-۵] با اعمال تغییراتی در modular reduction توانستند طراحی خود را بهبود ببخشنند. برای مثال در مرجع [۶] Modified Barrett Reduction استفاده شده است، در مرجع [۷] با استفاده از عملیات منطقی AND، OR و XOR و تغییر جایگاه بیت‌ها توانستند واحد modular reduction را بهبود دهند و در مرجع [۵] از Montgomery Reduction استفاده شده است. در مراجع [۴ و ۵] با افزایش تعداد واحد پروانه توانستند زمان اجرای کاهش دهند. در مرجع [۵] از ویژگی قابلیت پیکربندی در زمان اجرا^۲ یا (RTC) استفاده شده است که موجب انعطاف‌پذیری طراحی شده است.

در مراجع [۷ و ۸] برای بهبود عملکرد، تغییراتی را در حافظه اعمال کردند. در مرجع [۸] پهنای باند حافظه را دو برابر کردند تا مشکل دسترسی به RAM حل شود و تغییر در الگوی دسترسی به حافظه باعث افزایش سرعت و بهره‌وری شده است و در مرجع [۷] برای اطمینان از ذخیره داده و افزایش سرعت از شانزده بلوك SRAM استفاده کردند.

^۳ Decimation in time

^۴ Decimation in frequency

^۵ Radix-4

^۶ Conflict-free

^۷ Conflict

^۸ Address generator

^۱ Unified butterfly unit

^۲ Run-time configurability

و طبق خاصیت تناوب^۲ twiddle factor سه معادله زیر به دست می‌آید:

$$\begin{aligned} A_{i+\frac{N}{4}} &= F_0 + \omega_N^i \cdot \omega_4^1 \cdot \phi_{2N}^1 \cdot F_1 + \omega_N^{2i} \cdot \omega_4^2 \cdot \phi_{2N}^2 \cdot F_2 \\ &\quad + \omega_N^{3i} \cdot \omega_4^3 \cdot \phi_{2N}^3 \cdot F_3 \\ A_{i+2N/4} &= F_0 + \omega_N^i \cdot \omega_4^2 \cdot \phi_{2N}^1 \cdot F_1 \\ &\quad + \omega_N^{2i} \cdot (\omega_4^2)^2 \cdot \phi_{2N}^2 \cdot F_2 \\ &\quad + \omega_N^{3i} \cdot (\omega_4^2)^3 \cdot \phi_{2N}^3 \cdot F_3 \\ A_{i+3N/4} &= F_0 + \omega_N^i \cdot \omega_4^3 \cdot \phi_{2N}^1 \cdot F_1 \\ &\quad + \omega_N^{2i} \cdot (\omega_4^3)^2 \cdot \phi_{2N}^2 \cdot F_2 \\ &\quad + \omega_N^{3i} \cdot (\omega_4^3)^3 \cdot \phi_{2N}^3 \cdot F_3 \\ i &= 0, 1, 2, \dots, \frac{N}{4-1} \end{aligned} \quad (7)$$

همچنین می‌توان نتیجه گرفت که $\omega_4^3 = -\omega_4^1$ و $\omega_4^2 = -\omega_4^0 = -1$ که می‌توان معادلات بالا را به شکل زیر نشان داد:

$$\begin{bmatrix} A_i \\ A_{i+N/4} \\ A_{i+2N/4} \\ A_{i+3N/4} \end{bmatrix} = \begin{bmatrix} 1 & 1 & 1 & -\omega_4^1 \\ 1 & \omega_4^1 & -1 & 1 \\ 1 & -1 & 1 & -1 \\ 1 & -\omega_4^1 & -1 & \omega_4^1 \end{bmatrix} \times \begin{pmatrix} [F_0] & 1 \\ [F_1] & \omega_N^i \cdot \phi_{2N}^1 \\ [F_2] & \omega_N^{2i} \cdot \phi_{2N}^2 \\ [F_3] & \omega_N^{3i} \cdot \phi_{2N}^3 \end{pmatrix} \quad (8)$$

با ادغام n امین ریشه واحد ω_N و دو n امین ریشه واحد ϕ_{2N} معادله زیر به دست می‌آید:

$$\begin{bmatrix} A_i \\ A_{i+N/4} \\ A_{i+2N/4} \\ A_{i+3N/4} \end{bmatrix} = \begin{bmatrix} 1 & 1 & 1 & -1 \\ 1 & \omega_4^1 & -1 & -\omega_4^1 \\ 1 & -1 & 1 & -1 \\ 1 & -\omega_4^1 & -1 & \omega_4^1 \end{bmatrix} \times \begin{pmatrix} [F_0] & 1 \\ [F_1] & \phi_{2N}^{i+1} \\ [F_2] & \phi_{2N}^{2(i+1)} \\ [F_3] & \phi_{2N}^{3(i+1)} \end{pmatrix} \quad (9)$$

$$i = 0, 1, 2, \dots, \frac{N}{4-1}$$

پایه چهار DIF

فرمول INTT که با پس پردازش^۳ ترکیب شده است به صورت زیر است:

$$\begin{aligned} a_i &= N^{-1} \cdot \phi_{2N}^{-i} \cdot \sum_{j=0}^{N-1} A_j \omega_N^{-ij} \mod q \quad i \\ &= 0, 1, 2, \dots, N-1 \end{aligned} \quad (10)$$

عبارت بالا را به چهار قسمت برابر تبدیل می‌کنیم:

$$\begin{aligned} a_i &= N^{-1} \cdot (\phi_{2N}^{-i} \cdot \sum_{j=0}^{N/4-1} A_j \phi_{2N}^{-j} \omega_N^{-ij} \\ &\quad + \phi_{2N}^{-i} \cdot \sum_{j=N/4}^{2N/4-1} A_j \omega_N^{-ij} \\ &\quad + \phi_{2N}^{-i} \cdot \sum_{j=2N/4}^{3N/4-1} A_j \omega_N^{-ij} \\ &\quad + \phi_{2N}^{-i} \cdot \sum_{j=3N/4}^{N-1} A_j \omega_N^{-ij}) \mod q \end{aligned} \quad (11)$$

² Periodicity

³ Post-processing

محاسبات NTT پایه چهار توضیح داده شده است. با توجه به اینکه بیشترین زمان اجرای الگوریتم‌های پساکوانتوم به بخش ضربهای چندجمله‌ای اختصاص دارد، کاهش زمان اجرای ماجول NTT تأثیر بسزایی در کاهش زمان کل اجرای الگوریتم مربوطه خواهد داشت [۱۲ و ۱۳].

برای اجرای NTT از DIT و برای INTT از DIF استفاده می‌شود. در ادامه نحوه تبدیل DIT و DIF معمولی به DIT و DIF پایه چهار توضیح داده می‌شود.

پایه چهار DIT

فرمول NTT که با پیش‌پردازش^۱ ترکیب شده است به صورت زیر است:

$$A_i = \sum_{j=0}^{N-1} a_j \phi_{2N}^j \omega_N^{ij} \mod q \quad i = 0, 1, 2, \dots, N-1 \quad (3)$$

عبارت بالا را به چهار قسمت برابر تبدیل می‌کنیم:

$$\begin{aligned} A_i &= \sum_{j=0}^{\frac{N}{4-1}} a_{4j} \phi_{2N}^{4j} \omega_N^{i(4j)} + \sum_{j=0}^{\frac{N}{4-1}} a_{4j+1} \phi_{2N}^{4j+1} \omega_N^{i(4j+1)} \\ &\quad + \sum_{j=0}^{\frac{N}{4-1}} a_{4j+2} \phi_{2N}^{4j+2} \omega_N^{i(4j+2)} \\ &\quad + \sum_{j=0}^{\frac{N}{4-1}} a_{4j+3} \phi_{2N}^{4j+3} \omega_N^{i(4j+3)} \mod q \quad i = 0, 1, 2, \dots, N-1 \end{aligned} \quad (4)$$

در ادامه twiddle factor های ω و ϕ را ساده می‌کنیم.

$$\begin{aligned} A_i &= \sum_{j=0}^{\frac{N}{4-1}} a_{4j} \phi_{\frac{N}{2}}^j \omega_{\frac{N}{4}}^{ij} \\ &\quad + \omega_N^i \cdot \phi_{2N}^1 \cdot \sum_{j=0}^{\frac{N}{4-1}} a_{4j+1} \phi_{\frac{N}{2}}^j \omega_{\frac{N}{4}}^{ij} \\ &\quad + \omega_N^{2i} \cdot \phi_{2N}^2 \cdot \sum_{j=0}^{\frac{N}{4-1}} a_{4j+2} \phi_{\frac{N}{2}}^j \omega_{\frac{N}{4}}^{ij} \\ &\quad + \omega_N^{3i} \cdot \phi_{2N}^3 \cdot \sum_{j=0}^{\frac{N}{4-1}} a_{4j+3} \phi_{\frac{N}{2}}^j \omega_{\frac{N}{4}}^{ij} \mod q \end{aligned} \quad (5)$$

برای ساده‌تر شدن $\sum_{j=0}^{\frac{N}{4-1}} a_{4j+1} \phi_{\frac{N}{2}}^j \omega_{\frac{N}{4}}^{ij}$, $\sum_{j=0}^{\frac{N}{4-1}} a_{4j} \phi_{\frac{N}{2}}^j \omega_{\frac{N}{4}}^{ij}$, $\sum_{j=0}^{\frac{N}{4-1}} a_{4j+3} \phi_{\frac{N}{2}}^j \omega_{\frac{N}{4}}^{ij}$ و $\sum_{j=0}^{\frac{N}{4-1}} a_{4j+2} \phi_{\frac{N}{2}}^j \omega_{\frac{N}{4}}^{ij}$ را به ترتیب F_1 , F_0 , F_3 و F_2 نامیده و معادله (۵) به شکل زیر نوشته می‌شود:

$$A_i = F_0 + \omega_N^i \cdot \phi_{2N}^1 \cdot F_1 + \omega_N^{2i} \cdot \phi_{2N}^2 \cdot F_2 + \omega_N^{3i} \cdot \phi_{2N}^3 \cdot F_3 \quad (6)$$

¹ Pre-processing

$$\begin{bmatrix} a_{4i} \\ a_{4i+1} \\ a_{4i+2} \\ a_{4i+3} \end{bmatrix} = \left(\begin{bmatrix} 1 & 1 & 1 & 1 \\ 1 & \omega_4^{-1} & -1 & -\omega_4^{-1} \\ 1 & -1 & 1 & -1 \\ 1 & -\omega_4^{-1} & -1 & \omega_4^{-1} \end{bmatrix} \times \begin{bmatrix} G_0 \\ G_1 \\ G_2 \\ G_3 \end{bmatrix} \right) \cdot \begin{bmatrix} 1 \\ \omega_N^{-j} \cdot \phi_{2N}^{-1} \\ \omega_N^{-2j} \cdot \phi_{2N}^{-2} \\ \omega_N^{-3j} \cdot \phi_{2N}^{-3} \end{bmatrix} \quad (16)$$

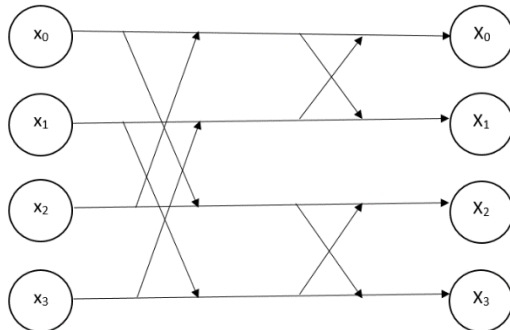
با ادغام twiddle factor ها معادله زیر به دست می آید.

$$\begin{bmatrix} a_{4i} \\ a_{4i+1} \\ a_{4i+2} \\ a_{4i+3} \end{bmatrix} = \left(\begin{bmatrix} 1 & 1 & 1 & 1 \\ 1 & \omega_4^{-1} & -1 & -\omega_4^{-1} \\ 1 & -1 & 1 & -1 \\ 1 & -\omega_4^{-1} & -1 & \omega_4^{-1} \end{bmatrix} \times \begin{bmatrix} G_0 \\ G_1 \\ G_2 \\ G_3 \end{bmatrix} \right) \cdot \begin{bmatrix} 1 \\ \phi_{2N}^{-(2j+1)} \\ \phi_{2N}^{-2(2j+1)} \\ \phi_{2N}^{-3(2j+1)} \end{bmatrix} \quad (17)$$

با اعمال اين تغييرات در DIF INTT و DIT NTT لازم است که مقادير ROM ها در twiddle factor ذخирه شود.

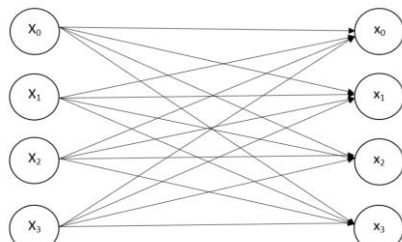
۳-۲- تغييرات در واحد پروانه

برای پياده‌سازی واحد پروانه به طور معمول از پايه دو استفاده می شود شکل (۲) نحوه محاسبات در پايه دو نشان می دهد.



شکل (۲). نحوه محاسبات در پايه دو

با استفاده از روش‌هایی می توان تعداد ضرب، تفريق و جمع را کاهش داد شکل (۳) نمایی از واحد پروانه چهار نقطه‌ای در پایه چهار را نشان می دهد.



شکل (۳). نحوه محاسبات در پايه چهار

طبق خاصیت‌های twiddle factor می توان جمع‌های بالا را در بازه‌ی [۰, N/4-1] نشان داد.

$$\begin{aligned} a_i &= N^{-1} \cdot (\phi_{2N}^{-i} \cdot \sum_{j=0}^{\frac{N}{4}-1} A_j \omega_N^{-ij} + \phi_{2N}^{-i} \cdot \sum_{j=0}^{\frac{N}{4}-1} A_{j+\frac{N}{4}} \omega_N^{-i(j+\frac{N}{4})} \\ &\quad + \phi_{2N}^{-i} \cdot \sum_{j=0}^{\frac{N}{4}-1} A_{j+\frac{2N}{4}} \omega_N^{-i(j+\frac{2N}{4})} \\ &\quad + \phi_{2N}^{-i} \cdot \sum_{j=0}^{\frac{N}{4}-1} A_{j+\frac{3N}{4}} \omega_N^{-i(j+\frac{3N}{4})}) \bmod q \end{aligned} \quad (12)$$

معادله‌ی بالا را می توان ساده کرد که به صورت زیر می شود:

$$\begin{aligned} a_i &= N^{-1} \cdot (\phi_{2N}^{-i} \cdot \sum_{j=0}^{\frac{N}{4}-1} A_j \omega_N^{-ij} + \phi_{2N}^{-i} \cdot \omega_4^{-i} \cdot \sum_{j=0}^{\frac{N}{4}-1} A_{j+\frac{N}{4}} \omega_N^{-ij} \\ &\quad + \phi_{2N}^{-i} \cdot \omega_4^{-2i} \cdot \sum_{j=0}^{\frac{N}{4}-1} A_{j+\frac{2N}{4}} \omega_N^{-ij} \\ &\quad + \phi_{2N}^{-i} \cdot \omega_4^{-3i} \cdot \sum_{j=0}^{\frac{N}{4}-1} A_{j+\frac{3N}{4}} \omega_N^{-ij}) \bmod q \end{aligned} \quad (13)$$

طبق خاصیت‌های twiddle factor می توان ساده‌سازی را انجام داد:

$$\begin{aligned} a_{4i} &= (\frac{N}{4})^{-1} \cdot \left(\frac{1}{4} \cdot \phi_{\frac{N}{2}}^{-i} \cdot \sum_{j=0}^{\frac{N}{4}-1} A_j \omega_{\frac{N}{4}}^{-ij} \right. \\ &\quad + \frac{1}{4} \cdot \phi_{\frac{N}{2}}^{-i} \cdot \sum_{j=0}^{\frac{N}{4}-1} A_{j+N/4} \omega_{\frac{N}{4}}^{-ij} + \frac{1}{4} \cdot \phi_{\frac{N}{2}}^{-i} \cdot \sum_{j=0}^{\frac{N}{4}-1} A_j \omega_{2N/4}^{-ij} \\ &\quad \left. + \frac{1}{4} \cdot \phi_{\frac{N}{2}}^{-i} \cdot \sum_{j=0}^{\frac{N}{4}-1} A_j \omega_{3N/4}^{-ij} \right) \bmod q \\ i &= 0, 1, 2, \dots, N/4 - 1 \end{aligned} \quad (14)$$

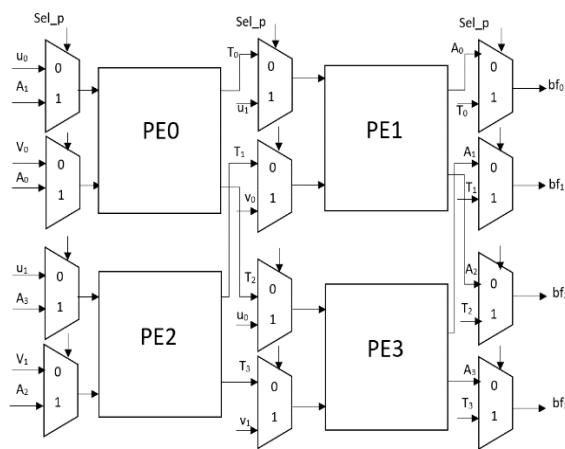
برای ساده‌تر شدن، چهار جمع بالا به ترتیب، با G_0, G_1, G_2 و G_3 نشان می دهیم.

$$\begin{aligned} a_{4i} &= G_0 + G_1 + G_2 + G_3 \\ a_{4i+1} &= \phi_{2N}^{-1} \cdot \omega_N^{-j} \cdot (G_0 + \omega_4^{-1} G_1 + \omega_4^{-2} G_2 + \omega_4^{-3} G_3) \\ a_{4i+2} &= \phi_{2N}^{-2} \cdot \omega_N^{-2j} \cdot [G_0 + \omega_4^{-2} G_1 + (\omega_4^{-2})^2 G_2 + (\omega_4^{-3})^2 G_3] \\ a_{4i+3} &= \phi_{2N}^{-3} \cdot \omega_N^{-3j} \cdot [G_0 + \omega_4^{-3} G_1 + (\omega_4^{-2})^3 G_2 + (\omega_4^{-3})^3 G_3] \end{aligned} \quad (15)$$

می توان نتيجه گرفت که $\omega_4^{-2} = -\omega_4^0 = \omega_4^{-3} = -\omega_4^1$ و $\omega_4^{-2} = -\omega_4^1 = \omega_4^{-3}$ نشان داد:

- که می توان معادلات بالا را به شکل رابطه (۱۶) نشان داد:

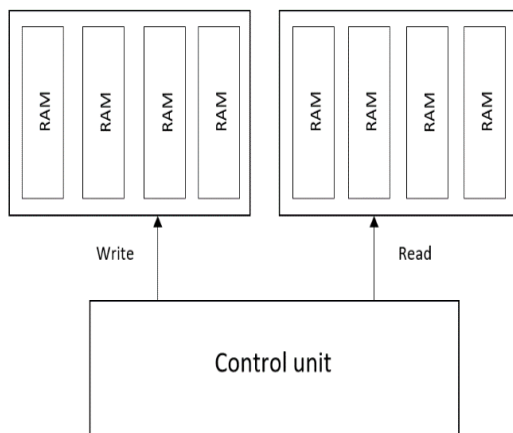
است. در عناصر پردازشی PE محاسبات مربوط به عملیات واحد پروانه مبنای ۴ انجام می‌شود تا در نهایت خروجی ضرب چندجمله‌ای درجه n تولید شود. هنگامی که sel_p یک باشد، دیتای مرتبط به A_i را فراخوانی می‌کند و محاسبات آن در ستون اول PE ها انجام می‌شود و مقادیر میانی تولید می‌شود و در ادامه، محاسبات در PE های ستون دوم انجام می‌شود و در نهایت مقدار خروجی مشخص می‌شود. زمانی که sel_p صفر باشد، از دیتای جایگزین استفاده می‌شود.



شکل (۶). ساختار مسیردهی در پایه چهار

۳-۳- تغییر در ساختار حافظه

به منظور جلوگیری از هرگونه مشکل احتمالی و بالا بردن سرعت در خواندن و نوشتمن از هشت حافظه RAM استفاده شده که چهارتا از آنها برای خواندن و چهارتا دیگر برای نوشتن به کار گرفته شده‌اند که این موضوع باعث تغییراتی در بخش آدرس‌دهی شده است. شکل (۷) ساختار حافظه را نشان می‌دهد.



شکل (۷). ساختار حافظه در روش پیشنهادی

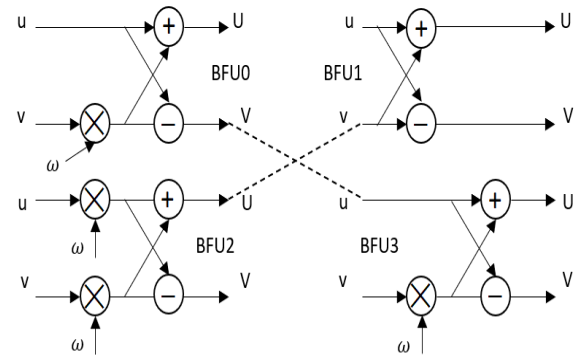
۴-۳- مناسبسازی NTT پایه چهار برای Kyber

در پیاده‌سازی Kyber به صورت مستقیم نمی‌توان از NTT پایه

همان‌طور که مشخص است محاسبات در مثال چهار نقطه‌ای، در پایه چهار در یک مرحله انجام می‌شود ولی در پایه دو، در دو مرحله انجام می‌شود که این موضوع نشان می‌دهد که استفاده از پایه چهار می‌تواند باعث کاهش زمان شود.

استفاده از تقسیم و غلبه در واحد پروانه CT

اگر به صورت مستقیم معادله (۹) را محاسبه کنیم، به پنج ضرب، شش تفیری و شش جمع نیاز داریم ولی می‌توان مقادیر را دوباره استفاده کرد که با استفاده از این روش به چهار ضرب، چهار تفیری و چهار جمع نیاز داریم. شکل (۴) DIT NTT را در پایه چهار نشان می‌دهد.

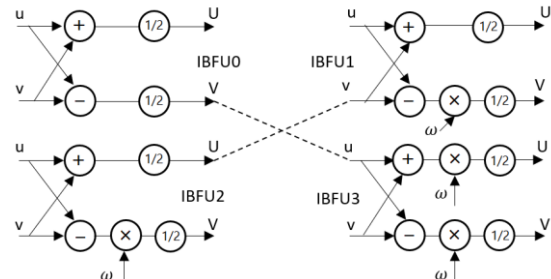


شکل (۴). DIT NTT در پایه ۴

استفاده از تقسیم و غلبه در واحد پروانه GS

اگر به صورت مستقیم معادله (۱۷) را محاسبه کنیم، به منابع بیشتری نیاز داریم ولی می‌توان مانند DIT NTT مقادیر به دست آمده را دوباره استفاده کرد و سپس به چهار ضرب، چهار تفیری و چهار جمع نیاز داریم که به صرفه‌تر می‌باشد.

شکل (۵) جزییات DIF INTT را نشان می‌دهد.



شکل (۵). DIF INTT در پایه ۴

واحد پروانه پایه چهار

در شکل (۶) از چهار PE^۱ یا عنصر پردازشی استفاده شده

^۱ Processing Element

واحد پروانه را به صورت جداگانه روی Artix-7 و Virtex-7 پياده‌سازی کرده‌ایم که طبق گزارش‌های به دست آمده روی Artix-7 به ۶۷۶ فلیپ فلاپ، LUT ۱۱۳۲ و DSP ۴ روی فرکанс ۱۸۵/۱۸ مگاهرتز نياز است و توان مصرفی آن ۰/۲۷۱ وات می‌باشد و روی Virtex-7 به ۶۷۶ فلیپ فلاپ، LUT ۱۱۵۶ و DSP ۴ روی فرکانس ۲۳۴/۷۴ مگاهرتز نياز است و توان مصرفی آن ۰/۵۰۲ وات می‌باشد.

توان مصرفی کل روش پياده‌سازی روی Artix-7 ۰/۲۷۹ وات و توان مصرفی روی Virtex-7 ۰/۵۲۷ وات می‌باشد.

جدول (۲) نتایج به دست آمده را که حاصل گزارش‌های Vivado می‌باشد، نشان می‌دهد که در ازای افزایش تعداد BRAM‌ها، زمان اجرای نسبت به سایر پياده‌سازی‌ها کاهش یافته است.

چهار استفاده کرد و NTT پایه چهار نياز به تغييراتی دارد تا به گونه‌ای شود که برای پياده‌سازی الگوريتم Kyber مناسب باشد. به طور مثال مقدار n و q باید تغيير کنند، مقدار n برابر با ۲۵۶ باشد و مقدار q برابر با ۳۳۲۹ باشد و اندازه ديتا می‌باشد به گونه‌ای باشد که با Kyber سازگار باشد.

۴- ارزیابی نتایج پياده‌سازی

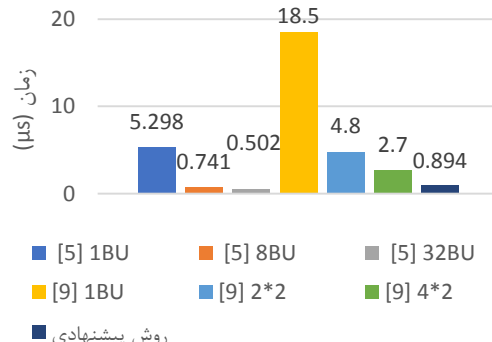
با استفاده از روش پياده‌سازی NTT پایه چهار مورد نظر را روی FPGA های Artix-7 (xc7a200tffg1156-3) و Virtex-7 (xc7vx690tffg1761-2) توسيط Vivado 2019.1 پياده‌سازی شده است. نتایج به دست آمده طبق گزارش‌های Vivado می‌باشد و کد روی FPGA ها پروگرام نشده است.

جدول (۲). نتایج پياده‌سازی روش پياده‌سازی

	Platform	Parameter	LUTs	FFs	DSPs	BRAMs	Freq. (MHz)	NTT (CCs)	INTT (CCs)	Time (μs)
روش پياده‌سازی	Artix-7	$n=256$	۲۳۰۱	۹۲۵	۴	۹	۱۸۵/۱۸	۲۱۰	۲۱۰	۱/۱۳۴
روش پياده‌سازی	Virtex-7	$n=256$	۲۳۷۵	۹۰۱	۴	۹	۲۳۴/۷۴	۲۱۰	۲۱۰	۰/۸۹۴

زمان اجرای روش پياده‌سازی روی Artix-7 نسبت به ۰/۲۵۶ درصد سريع‌تر و نسبت به ۰/۱۲۳۴ ۴BU درصد سريع‌تر است.

در شکل (۱۰) زمان اجرای روش پياده‌سازی با سایر پياده‌سازی‌ها روی Virtex-7 مقایسه شده است که مطابق شکل، روش پياده‌سازی توانيتۀ سريع‌تر از اکثر پياده‌سازی‌ها باشد. با توجه به اينکه پياده‌سازی مشابهی برای Artix-7 وجود نداشت، بهنچار روش پياده‌سازی با همه پياده‌سازی‌ها روی Virtex-7 مقایسه شده است.



شکل (۱۰). مقایسه پياده‌سازی‌ها روی Virtex-7

زمان اجرای روش پياده‌سازی روی Virtex-7 نسبت به ۰/۹۶ ۳/۰۲ ۴×۲ برابر سريع‌تر، نسبت به ۰/۹۶ ۲×۲ ۵/۳۶ برابر سريع‌تر، نسبت به ۰/۹۶ ۱ BU ۲۰/۶۹ برابر سريع‌تر، نسبت به ۰/۵ ۱/۲ ۸BU برابر کندتر، نسبت به ۰/۵ ۱BU برابر کندتر و نسبت به ۰/۵ ۹۲ ۵/۹۲ برابر سريع‌تر است.

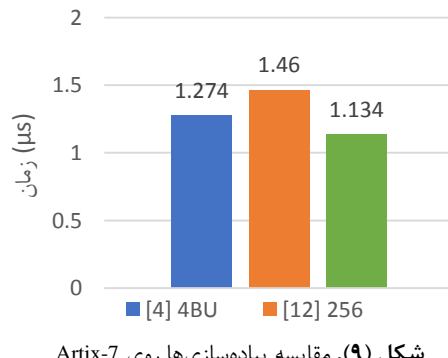
۴-۱- مقایسه زمان اجرای روش پياده‌سازی در پياده‌سازی‌های مختلف

در شکل (۸) زمان اجرای روش پياده‌سازی روی دو Virtex-7 و Artix-7 با يكديگر مقاييسه شده‌اند.



شکل (۸). مقایسه زمان اجرای Artix-7 و Virtex-7

در شکل (۹) زمان اجرای روش پياده‌سازی با سایر پياده‌سازی‌ها روی Artix-7 مشابه، مقاييسه شده است؛ و همان‌طور که ديده می‌شود پياده‌سازی روش پياده‌سازی روی پياده‌سازی زمان خوبی را ثبت کند و زمان اجرای ۰/۱۳۴ ميكروثانیه است. (منظور از واحد پروانه می‌باشد)



شکل (۹). مقایسه پياده‌سازی‌ها روی Artix-7

نشریه علمی "پدافند الکترونیکی و سایبری"، سال دهم، شماره ۴، زمستان ۱۴۰۱

پروانه بیشتری استفاده کرده‌اند یا در مواردی مقدار n متفاوت بوده است (معمولاً مقدار $n=256$ است) که همهٔ موارد بالا روی سرعت و منابع موردنیاز اثرگذار می‌باشد ولی در جدول (۳) پیاده‌سازی‌های مشابه با روش پیشنهادی روی Artix-7 مقایسه شده‌اند.

جدول (۳). مقایسه نتایج پیاده‌سازی روی Artix-7

Design	n	BU	LUTs	FFs	DSPs	BRAMs	Freq. (MHz)	NTT (CCs)	INTT (CCs)	Time (μs)
[4]	256	4	2543	792	4	9	182	232	233	1/274
[12]	256	2*	801	717	4	2	222	324	324	1/46
روش پیشنهادی	256	2*	2301	925	4	9	185/18	210	210	1/134

[۴] به LUT کمتر، فلیپ فلاپ بیشتر نیاز دارد. در کل نتایج به دست آمده روی Artix-7 خوب و راضی کننده بودند.

در جدول (۴) نتایج پیاده‌سازی‌های مختلف روی Virtex-7 Virtex-7 نشان داده شده است. در این جدول پژوهش‌های مختلف، به ازای مقادیر مختلف برای n و نوع پروانه مورد مقایسه و ارزیابی قرار گرفته‌اند.

جدول (۴). نتایج پیاده‌سازی روی Virtex-7

Design	n	BU	LUTs	FFs	DSPs	BRAMs	Freq. (MHz)	NTT (CCs)	INTT (CCs)	Time (μs)
[5]	256	1	2128	1144	8	3	174	922	1184	5/298
[5]	256	8	11K	5422	64	12	186	138	176	0/741
[5]	256	32	61K	17K	256	48	167	84	101	0/502
[9]	1024	1	475	307	3	1/5	278	-	5134	18/5
[9]	1024	2*	1196	969	12	3	270	-	1308	4/8
[9]	1024	2*	2953	1875	27	5/5	250	-	668	2/7
روش پیشنهادی	256	2*	2375	901	4	9	234/74	210	210	0/194

مقدار شاخص ATP در Artix-7

• در فلیپ فلاپها • ATP

شکل ۱۱ مقدار شاخص ATP را در فلیپ فلاپ‌ها نشان می‌دهد و طبق شکل، پیاده‌سازی [۴] BU^۴ بهترین مقدار را به دست آورده است و روش پیشنهادی با مقدار ۱۰۴۸/۵ در جایگاه سوم قرار دارد.



شکل (۱۱). شاخص ATP در فلیپ فلاپ‌ها روی Artix-7

• ATP در LUT ها •

۴-۲- مقایسه کلی روش پیشنهادی با سایر روش‌ها

پیاده‌سازی‌های گوناگونی برای NTT وجود دارد برخی از آن‌ها از طراحی هم‌زمان سخت‌افزار / نرم‌افزار استفاده کرده‌اند و برخی از طراحی تمام سخت‌افزاری یا برخی از پیاده‌سازی‌ها از تعداد واحد

جدول (۳). مقایسه نتایج پیاده‌سازی روی Artix-7

با مقایسه نتایج، می‌توان متوجه شد که روش پیشنهادی توانسته بهترین زمان اجرا را ثبت کند ولی در مقایسه با مرجع [۱۲]، روش پیشنهادی به منابع بیشتری نیاز دارد بهطوری که ۲/۸۷ برابر LUT بیشتر، ۱/۲۹ برابر فلیپ فلاپ بیشتر، ۴/۵ برابر BRAM بیشتر نیاز دارد و روش پیشنهادی در مقایسه با مرجع

جدول (۴). نتایج پیاده‌سازی روی Virtex-7

Design	n	BU	LUTs	FFs	DSPs	BRAMs	Freq. (MHz)	NTT (CCs)	INTT (CCs)	Time (μs)
[5]	256	1	2128	1144	8	3	174	922	1184	5/298
[5]	256	8	11K	5422	64	12	186	138	176	0/741
[5]	256	32	61K	17K	256	48	167	84	101	0/502
[9]	1024	1	475	307	3	1/5	278	-	5134	18/5
[9]	1024	2*	1196	969	12	3	270	-	1308	4/8
[9]	1024	2*	2953	1875	27	5/5	250	-	668	2/7
روش پیشنهادی	256	2*	2375	901	4	9	234/74	210	210	0/194

پیاده‌سازی روش پیشنهادی در مقایسه با مرجع [۵] که یک واحد پروانه دارد هم‌زمان اجرا و هم منابع موردنیاز کمتری (در بیشتر اوقات) دارد، بهطوری که زمان اجرا در مرجع [۵] با یک واحد پروانه، ۵/۹۲ برابر، تعداد BRAM ها ۰/۳۳ برابر، تعداد DSP ها دو برابر، تعداد فلیپ فلاپ ها ۱/۲۶ برابر و تعداد LUT ها ۰/۸۹۶ برابر بیشتر می‌باشد.

در پیاده‌سازی [۵] که چهار واحد پروانه بیشتر نسبت به روش BRAM پیشنهادی دارد و ۰/۱۵۳ میکروثانیه سریع‌تر است ولی تعداد هایش ۱/۳۳ برابر، تعداد DSP هایش ۱۶ برابر، تعداد فلیپ فلاپ هایش ۶۰/۱ برابر و تعداد LUT هایش ۴/۶۳ برابر بیشتر می‌باشد.

اگرچه نتایج به دست آمده روش پیشنهادی روی Virtex-7 به خوبی نتایج حاصل از پیاده‌سازی بر روی تراشه Artix-7 نیست ولی نتایج باز هم قابل قبول هستند.

۴-۳- شاخص بهره‌وری

این شاخص از حاصل ضرب زمان در مساحت به دست می‌آید و مقدار مساحت بر اساس فلیپ فلاپ‌ها یا LUT ها یا DSP ها به دست می‌آید و عدد این شاخص هرچقدر کوچک‌تر باشد، بهتر است.

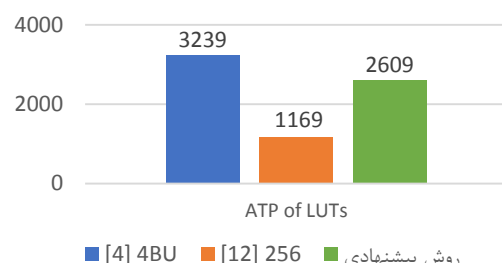
۵- نتیجه‌گیری

به علت قدرت بالای محاسباتی کامپیوترهای کوانتومی، در آینده این کامپیوترها می‌توانند الگوریتم‌های رمزنگاری کلید عمومی فعلی را بشکنند؛ برای مقابله با این موضوع الگوریتم‌های رمزنگاری پساکوانتموم به وجود آمدند. پیاده‌سازی الگوریتم‌های رمزنگاری پساکوانتموم با چالش‌های مختلفی، همچون منابع موردنیاز و زمان اجرا روی رو بودند و هستند. برای حل این چالش‌ها روش‌های مختلفی پیشنهاد شده است. از تغییر در بخش‌های محاسباتی و استفاده از تکنیک‌هایی در سطح عمارتی کامپیوتر، برای بهبود پیاده‌سازی و کاهش زمان این الگوریتم‌ها استفاده شده است. در بهینه‌سازی‌های CRYSTALS-Kyber اکثرًا به NTT توجه کرده‌اند و علاوه بر NTT به نحوه سازمان‌دهی حافظه هم توجه شده است و بیشتر پیاده‌سازی‌هایی که زمان کمی داشتند، به این موضوعات توجه کرده‌اند. در این پژوهش، از NTT پایه چهار استفاده شده که باعث تغییرات در سایر قسمت‌های NTT شده است و توانسته زمان اجرای کمتری در مقایسه با سایر پیاده‌سازی‌ها داشته باشد و به منابع موردنیاز متعادلی نیاز دارد. تاکنون پیاده‌سازی‌های بسیاری برای الگوریتم‌های رمزنگاری پساکوانتموم ارائه شده است و هرکدام ویژگی‌های خاص خود را داشته‌اند. روش پیشنهادی با تغییر مبنای در NTT توانست زمان اجرا را بهبود دهد و در مقایسه با پیاده‌سازی‌های مشابه توانست $28/74$ درصد و $12/34$ درصد زمان اجرای کوتاه‌تری را ثبت کند.

جهت توسعه کار در آینده، استفاده از مبنای‌های بالاتر می‌تواند در زمان اجرا تأثیرگذار باشد مثلاً اگر $n=256$ باشد، می‌توان از پایه شانزده استفاده کرد ولی محاسباتی پیچیده می‌شود و استفاده از سایر روش‌ها برای ضرب می‌تواند باعث تغییر در زمان اجرا شود.

۶- مراجع

- [1] Farahmand, F., Nguyen, D. T., Dang, V. B., Ferozpuria, A., & Gaj, K., "Software/Hardware Codesign of the Post Quantum Cryptography Algorithm NTRUEncrypt Using High-Level Synthesis and Register-Transfer Level Design Methodologies," In 29th International Conference on Field Programmable Logic and Applications (FPL), pp. 225-231, 2019.
- [2] Xie, J., Basu, K., Gaj, K., & Guin, U., "Special Session: The Recent Advance in Hardware Implementation of Post-Quantum Cryptography," In IEEE 38th VLSI Test Symposium (VTS), pp. 1-10, 2020.
- [3] Avanzi, R., Bos, J., Ducas, L., Kiltz, E., Lepoint, T., Lyubashevsky, V., Schanck, J.M., Schwabe, P., Seiler, G. & Stehlé, D., "CRYSTALS-Kyber algorithm specifications and supporting documentation," NIST PQC Round 2, 2017.

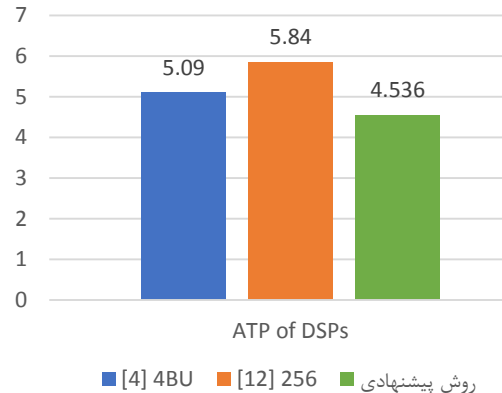


شکل (۱۲). شاخص ATP در LUT ها روی Artix-7

در شکل (۱۲) که مقدار شاخص ATP در LUT ها را نشان می‌دهد طبق نتایج بدست‌آمده پیاده‌سازی 256 [۱۲] بهترین نتیجه را به دست آورده و روش پیشنهادی با مقدار ۲۶۰۹ در رتبه دوم قرار دارد.

DSP در ATP

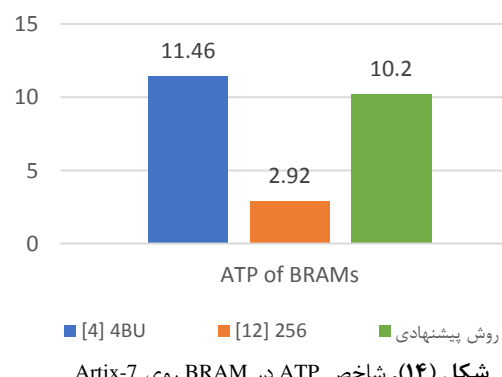
در شکل (۱۳) که مقدار شاخص ATP در DSP ها را نمایش می‌دهد، پیاده‌سازی روش پیشنهادی با مقدار ۴/۵۳۶ در مقایسه با سایر روش‌ها، کمترین مقدار را دارد و در جایگاه نخست قرار گرفته است.



شکل (۱۳). شاخص ATP در DSP روی Artix-7

BRAM در ATP

در شکل (۱۴) که مقدار شاخص ATP در BRAM ها را نشان می‌دهد و پیاده‌سازی 256 [۱۲] کمترین مقدار را دارد و روش پیشنهادی مقام دوم را کسب کرد.



شکل (۱۴). شاخص ATP در BRAM روی Artix-7

- [9] Chen, X., Yang, B., Yin, S., Wei, S. & Liu, L., “CFNTT: Scalable Radix-2/4 NTT Multiplication Architecture with an Efficient Conflict-free Memory Mapping Scheme,” IACR Transactions on Cryptographic Hardware and Embedded Systems, pp.94-126, 2022.
- [10] Garrido, M., Grajal, J., Sanchez, M.A. & Gustafsson, O., “Pipelined radix- 2^k feedforward FFT architectures,” IEEE Transactions on Very Large Scale Integration (VLSI) Systems, pp. 23-32, 2011.
- [11] Swartzlander, E.E., Young, W.K. & Joseph, S.J., “A radix 4 delay commutator for fast Fourier transform processor implementation,” IEEE Journal of solid-state circuits, pp. 702-709, 1984.
- [12] Bisheh-Niasar, M., Azarderakhsh, R. & Mozaffari-Kermani, M., “High-speed NTT-based polynomial multiplication accelerator for CRYSTALS-Kyber post-quantum cryptography,” Cryptology ePrint Archive, 2021.
- [13] Doustimotlagh, S. N., “A New Mechanism for Enhancing the Security of Military Internet of Things by Using Quantum and Classic Cryptography,” Electronic and Cyber Defense, vol. 9, no. 6, 2021, pp. 29-49, 2021. (In Persian)
- [4] Yarman, F., Mert, A.C., Öztürk, E. & Savaş, E., “A hardware accelerator for polynomial multiplication operation of CRYSTALS-KYBER PQC scheme,” In 2021 Design, Automation & Test in Europe Conference & Exhibition pp. 1020-1025, 2021.
- [5] Derya, K., Mert, A.C., Öztürk, E. & Savaş, E., “CoHA-NTT: A Configurable Hardware Accelerator for NTT-based Polynomial Multiplication,” Microprocessors and Microsystems, p. 104451, 2022.
- [6] Xing, Y. & Li, S., “A compact hardware implementation of CCA-secure key exchange mechanism CRYSTALS-KYBER on FPGA,” IACR Transactions on Cryptographic Hardware and Embedded Systems, pp.328-356, 2021.
- [7] Guo, W., Li, S. & Kong, L., “An Efficient Implementation of KYBER,” IEEE Transactions on Circuits and Systems II: Express Briefs, 2021.
- [8] Zhang, C., Liu, D., Liu, X., Zou, X., Niu, G., Liu, B. & Jiang, Q., “Towards efficient hardware implementation of NTT for kyber on FPGAs,” In 2021 IEEE International Symposium on Circuits and Systems (ISCAS) pp. 1-5, 2021.